

О ВКЛАДЕ ДВОЙНОГО ЦИКЛА САТУРНА В ИЗМЕНЕНИЯ СРЕДНЕГОДОВЫХ ТЕМПЕРАТУР ВОЗДУХА НА БАЙКАЛЕ И ИХ ПРОГНОЗ ДО 2030 г.

Л.Н. Куимова, П.П. Шерстянкин

Лимнологический институт СО РАН
г. Иркутск, ул. Улан-Баторская, 3,
664033, Россия
E-mail: kuimova@lin.irk.ru

В последнее время в среднегодовых температурах Земного Шара обсуждается проявление и существование 60-летнего цикла солнечной активности, "двойной цикл Сатурна". Целью настоящей работы является оценка и обсуждение проявления этого цикла в наблюдениях на озере Байкал.

60-летний цикл солнечной активности по средней годовой температуре воздуха Земного шара.

1.1. Характеристика 60-летнего цикла солнечной активности «двойной цикл Сатурна». Связь солнечной активности с погодой на Земном шаре известна давно. Первой была установлена связь одиннадцатилетней периодичности солнечных пятен с катастрофическими отклонениями в погоде, стихийными бедствиями, включая засухи, моры и болезни, Чижевский [1] В Никоновской и Троицкой летописях описаны сильнейшие засухи 1364 и 1371 годов: «и земля горяше, и реки пересохша, иные же водные места до конца исохоща и бысть страх велик и ужас на всех человечех и скорбь великая... Дождя сверху

не едина капля не бывала все лето...», Вернадский [2]. Через шестьсот лет, в 1965-м и 1972 годах, подобные великие засухи повторились. В этих событиях, несомненно, присутствует и одиннадцатилетняя периодичность солнечной активности, но также просматривается 60-летняя периодичность, которая в восьмидесятых годах прошлого столетия была обнаружена в продолжительных рядах изменения среднегодовых температур воздуха северного полушария. 60-ти летний цикл известен как “двойной цикл Сатурна”, близкий к периоду тройного соединения Юпитера и Сатурна (Планеты находятся на одной линии и с одной стороны от Солнца) и три противостояния (Планеты находятся по разные стороны от Солнца), Дмитриев, Белязо [3]. На этот цикл приходится 89 % момента импульса всей Солнечной системы, тогда как на само Солнце приходится 2 %, и он проявляется в эпохальных циркуляционных режимах при преобразованиях основных форм межширотного обмена, в колебаниях температурного режима полярной зоны в форме долгопериодных похолоданий и потеплений.

1.2. Метод G.Orssengo [4]. Для проявления и изучения 60-ти летнего цикла в среднегодовых температурах Земного шара Girma Orssengo [4] применила метод наложения огибающей в виде косинусоиды с периодом 60 лет с учетом линейного тренда с 1880 по 2009 гг. (рис. 1). Математическое представление аномалий средней температуры воздуха по земному шару (The Global Mean Temperature Anomaly, GMTA) имеет вид

$$GMTA = 0.0059 * (\text{Year} - 1880) - 0.52 + 0.3 * \text{Cos}(((\text{Year} - 1880)/60)^2 * 3.1416), \quad (1)$$

где первые два слагаемые – линейный тренд, третье – косинусоида с периодом 60 лет и нормирующим коэффициентом 0.3.

Качественное согласие покрытия косинусоидой данных наблюдений удовлетворительное, несмотря на два значительных отклонения в положительную в 1896 и 1900 гг. и отрицательную в 1949 и 1957 гг. стороны (рис. 1). Orssengo [4] выделила участки потепления от -0.6 до 0.1 °C с 1910 по 1940 гг.; от -0.3 до +0.5 °C с 1970 по 2000 гг. и похолодания

от -0.22 до -0.6 °C с 1880 по 1910 гг.; от 0.1 до -0.3 °C с 1940 по 1970 гг. и от 0.5 и, возможно, до 0.02 °C (прогноз) с 2000 по 2030 гг. Эти периоды потепления и похолодания были известны давно, но они не связывались и не объяснялись с фазами 60-ти летнего цикла солнечной активности.

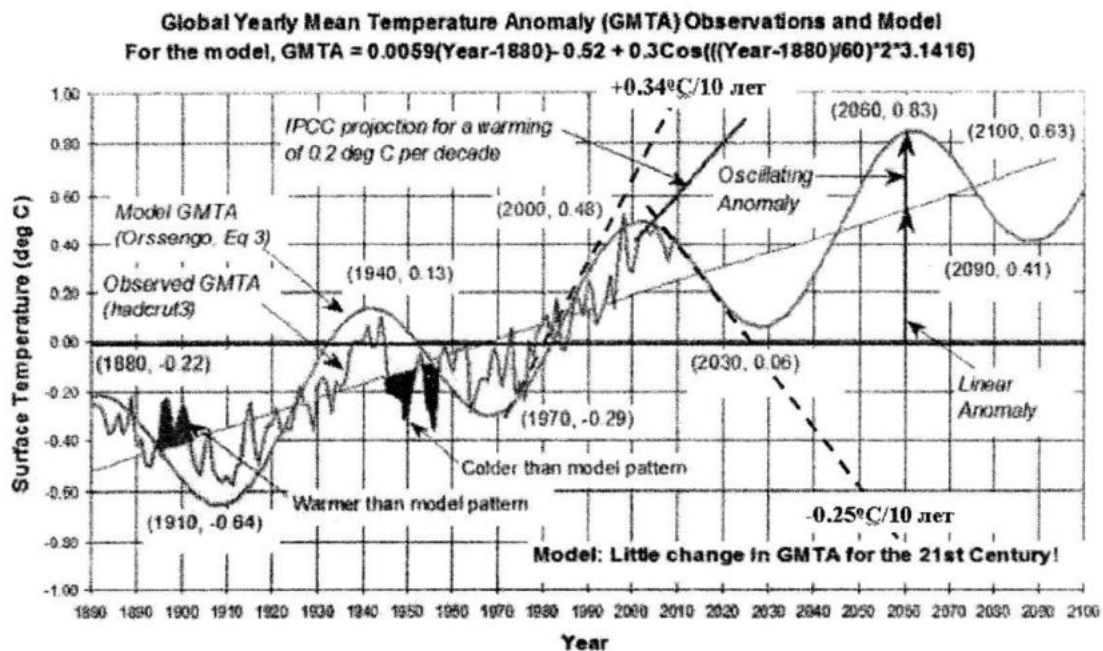


Рис. 1. Среднегодовые температуры воздуха Земного шара (сплошная ломаная кривая) с линейным трендом с 1880 по 2009 гг.

На рисунке 1 значительные отклонения данных наблюдений от огибающей в положительную сторону в 1896 и 1900 гг. и отрицательную в 1949 и 1957 гг. затушеваны. Данные взяты по The Climate Research Unit of the Hadley Center (hadcrut3) [5]. Прогноз IPCC (Межправительственная Комиссия по Изменению Климата) [6] на 2030 год показан отрезком прямой линии, [4]. Оценки предельных фазовых наклонов огибающей для положительных ($+0.34^{\circ}\text{C}/10 \text{ лет}$) и отрицательных участков ($-0.25^{\circ}\text{C}/10 \text{ лет}$) рассчитаны нами.

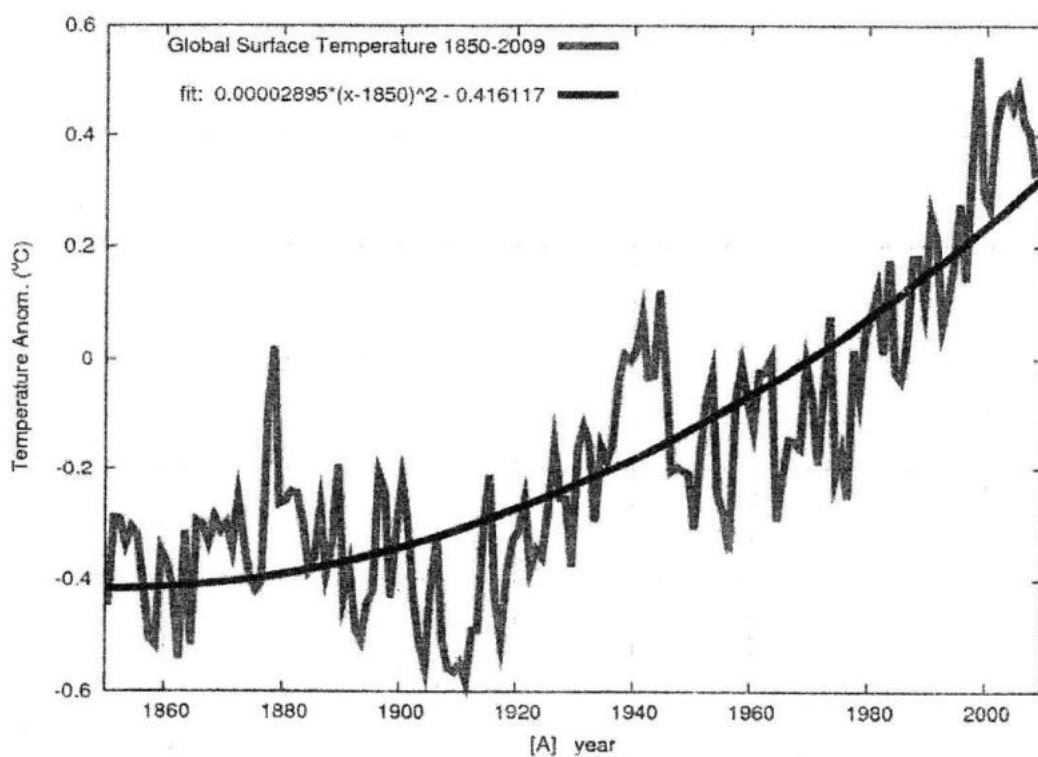
1.3. Метод N.Scafetta [7]. Для выделения 60-летнего цикла солнечной активности по средней температуре воздуха Земного шара с 1850 по 2009 г. Nicola Scafetta [7] предложил найти квадратичный тренд и вычесть его значения из данных наблюдений и получил четко выраженные 60-летние колебания, (рис. 2 а, б), где сплошная ломаная линия – данные по the Hadley Center (hadcrut3) с 1850 по 2009 гг., [5]. Сплошная гладкая линия – квадратичный тренд, [7]. Одним из главных выводов является то, что периодичность никак не связана с антропогенным фактором в отличие от квадратичного тренда, вызванного поте-

пением. Отметим, что в 60-летней периодичности прослеживаются 30-летние периоды, связанные с цикличностью солнечной активности “двойной цикл Сатурна”. N.Scafetta [7] передвинул кривую температур воздуха Земного Шара в сторону 2000-х годов с вычтеными значениями квадратичного тренда, совместив пики 1880 и 1940 гг. с пиками 1940 и 2000 гг., и получил практически полное совпадение совмещенных частей кривых. При этом небольшой пик 1960 г. повторил пик 1900 г.

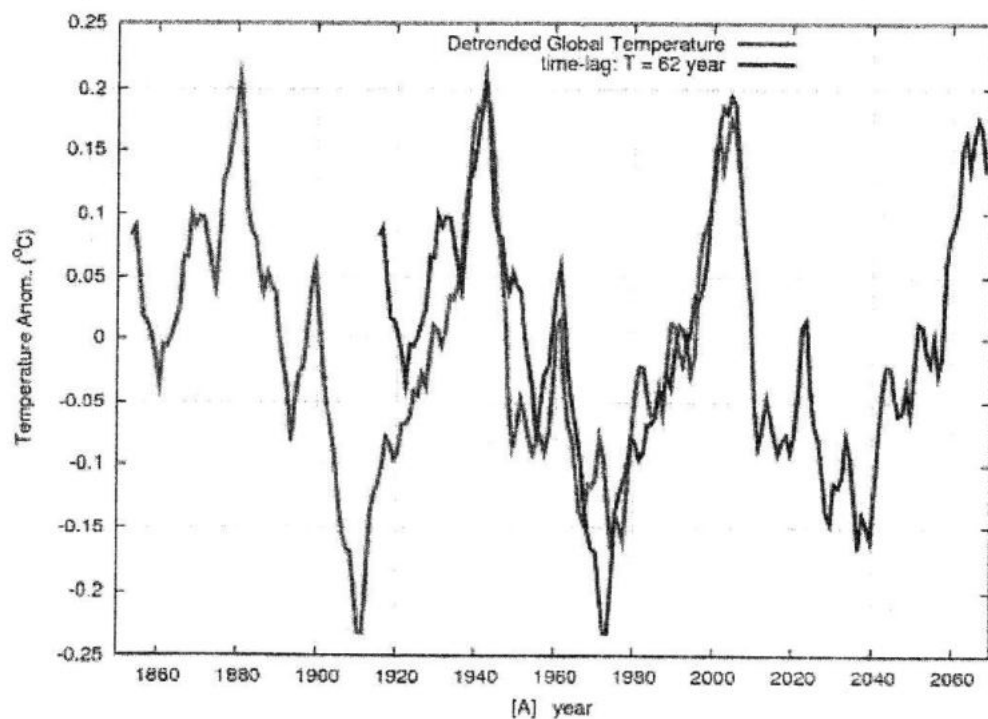
1.4. Основные выводы из 60-летнего цикла солнечной активности. Установлено, что наибольшие значения положительных аномалий температуры (через 60 лет) отмечаются в годы, когда Планеты находятся наиболее близко от Солнца и возмущающий их момент максимален. Экстремальные положительные температуры воздуха на Земном Шаре совпадали с максимальными значениями скорости вращения Земли. В годы, близкие к противостояниям Юпитера и Сатурна, экстремальные отрицательные аномалии температуры воздуха совпадали с минимальными значениями скорости вращения Земли, [3].

Таким образом, цикл солнечной активности “двойной цикл Сатурна”, состоящий из периода похолодания и по-

тепления, прослеживается по данным температуры воздуха Земного шара у [4, 5].



Р и с. 2. а. Температуры поверхности Земного шара за 1850 – 2009 гг.



Р и с. 2. б. 60-ти летняя периодичность в данных по the Hadley Center (hadcrut3) с 1850 по 2009 гг. [5] с вычетом квадратичного тренда, [7]

1.4.1. Объяснение «ускоренного» (accelerated warming) по IPCC потепления [6], фазовый смысл наклонов трендов с периодами порядка 30 лет и меньше. Учет линейных трендов изменения температур воздуха при существовании 60-летней периодичности накладывает условие, чтобы длины исследуемого тренда превышала 60 лет, так как для меньших длин трендов их наклоны будут носить фазовый характер. На рис. 1 показаны предельные фазовые наклоны линейных трендов, равные в фазе потепления – +0.34 °C /10 лет и фазе похолодание -0.25 °C /10 лет при наклоне линейного тренда за весь период с 1880 по 2009 гг. 0.059 °C /10 лет. В отчете IPCC (2007) [6] возрастание наклонов с уменьшением длины линейного тренда интерпретируется как «ускоренное потепление», рис. 3, где показаны линейные тренды за 150, 100, 50 и 25 лет, по IPCC (2007), [6]. Возрастание наклонов с уменьшением длины тренда интерпретируется как «ускоренное потепление» (accelerated warming).

На самом деле, при существовании цикла с периодом 60 лет, возрастание наклона линейного тренда в фазе потепления нужно трактовать, как увеличение наклона тренда в фазе потепления. Видно, что максимальный наклон тренда для

$$\Delta T_{\text{год}}^{\text{Баб}} = 0.0132 \cdot (\text{Год} - 1896) - 0.93 + 1.8 \cdot \cos((\text{Год} - 1880)/60) \cdot 2\pi , \quad (2)$$

где первое слагаемое – угол наклона линейного тренда, равный 0.0132 °C на год; второе – свободный член и третье – уравнение косинусоиды с нормирующим коэффициентом 1.8, начальным максимумом в 1880 г. и отсчетом с 1896 г.

Качественное согласие покрытия косинусоидой данных наблюдений удовлетворительное, но уступает примеру G.Orssengo [4] для всего Земного Шара, рис. 1. Некоторое увеличение числа пиков помех для байкальских материалов может объясняться разными причинами, которые сейчас не будут рассматриваться, так как существование 60-летней пе-

длины 25 лет достиг только половины предельного наклона в +0.34 °C /10, рассчитанного нами. К сожалению, IPCC (2007) [6] не учитывает 60-летний “двойной цикл Сатурна”, что приводит к неправильной оценке скорости потепления (+0.2 °C /10 лет) на 2030 и 2100, [4, 7].

2. Среднегодовые температуры воздуха на озере Байкал.

2.1. 60-летний цикл солнечной активности по средней годовой температуре воздуха по озеру Байкал, пункты: Бабушкин, Нижне-Ангарск. Рассмотрим временные изменения среднегодовых температур воздуха, Твзд., с 1896 г. на озере Байкал по г. Бабушкину, который расположен на берегу Южного Байкала. Первичный ряд Твзд, обозначенный кривой 1 на рис. 4, представляет собой волнообразные периодические ломанные кривые с всплесками (пиками) в сторону отрицательных и положительных температур. Ряд имеет положительный линейный тренд с наклоном 1.32 °C на 100 лет. Применяя метод G.Orssengo [4], накроем точки наблюдений огибающей в виде косинусоиды с периодом 60 лет с начальным максимумом в 1880 г. и получим

риодичности отрицать нельзя. Заметим, что для Бабушкина характеристики изменчивости Твзд по сравнению с Земным Шаром возросли: наклон линейного тренда – в два раза, нормировочный коэффициент для косинусоиды и предельные наклоны огибающей для 30-летних периодов потепления и похолодания – в шесть раз. Повышенные значения характеристик изменчивости на Байкале вызваны их широтным ходом (увеличение с приближением к полярным областям) и резко континентальным климатом, [8, 9] и др.

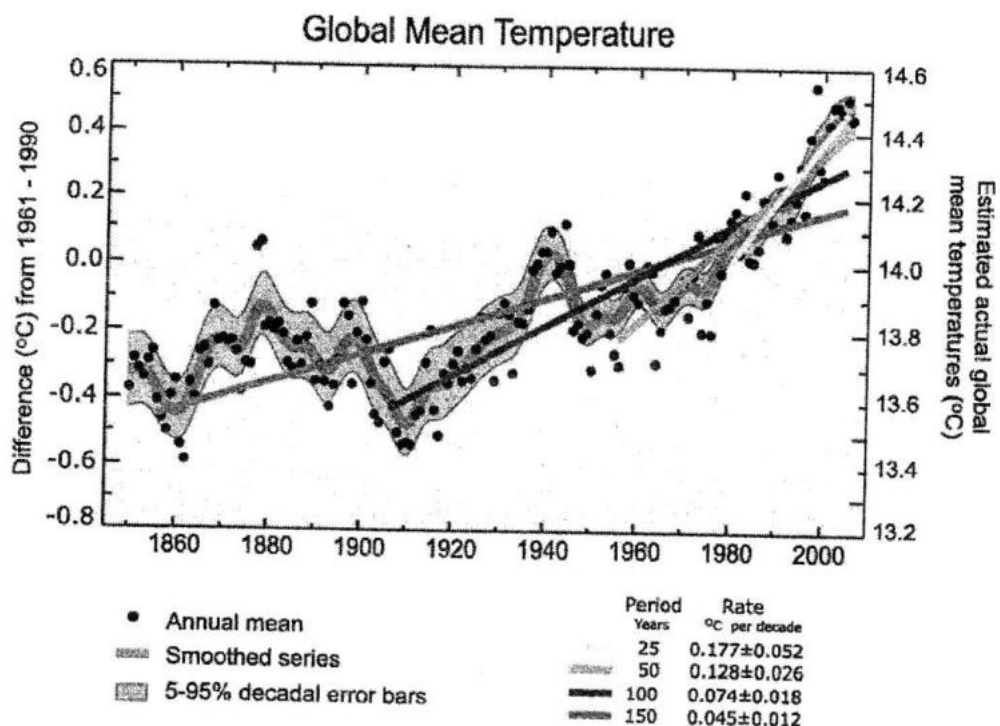


Рис. 3. Температуры воздуха Земного Шара с 1850 по 2005 гг.

2.2. Об «ускоренном потеплении» на озере Байкал. Применяя методику уменьшения длительности линейных трендов от конца наблюдений в 2005 г. на 25, 50, 100 и 150 лет, IPCC [6], получили увеличение наклонов трендов с уменьшением их длительности и назвали «ускоренным потеплением», accelerated warming. Для байкальских пунктов наблюдений, это Иркутск (70 км от Байкала), Бабушкин и Нижне-Ангарск мы также получили увеличение наклонов линейных трендов, укороченных к 2008 г., рядов наблюдений с 1950 и 1970 гг. (58 и 38 лет). Увеличение наклонов линейных трендов с сокращенной длительностью по сравнению с полными рядами происходит в два-три раза, таблица 1 и для Бабушкина рис. 4. Из подходов G. Orssengo [4] следует, что на Байкале и на Земном Шаре это вызвано совпадением с 30-ти летней фазой потепления с 1970 по 2000 гг., особенно активное в байкальском регионе (в два –

три раза большее по сравнению с Земным Шаром в целом) и никоим образом не может быть использовано для характеристики общего потепления, как это сделано в [6]. Учет 60-ти летнего цикла солнечной активности (двойной цикл Сатурна) можно использовать для прогноза среднегодовой температуры для байкальских условий в Бабушкине на 2030 г. Действительно, очередной минимум огибающей косинусоиды в 2030 г. дает значение $T_{взд}$, равное -0.88 °С (рис. 4), где линейные тренды с 1950 по 2009 гг. и с 1970 по 2009 гг. показаны прямыми 4 и 5. Предельные наклоны огибающей за периоды потепления – штрих-пунктирная линия с одной точкой и похолодания с двумя. Пунктиром показаны холодные 2000 – 2001 гг. и теплые 2002 – 2003 гг. Линейные тренды для укороченных к 2009 г. рядов наблюдений с 1950 и 1970 гг. (58 и 38 лет) показаны кривыми 4 и 5.

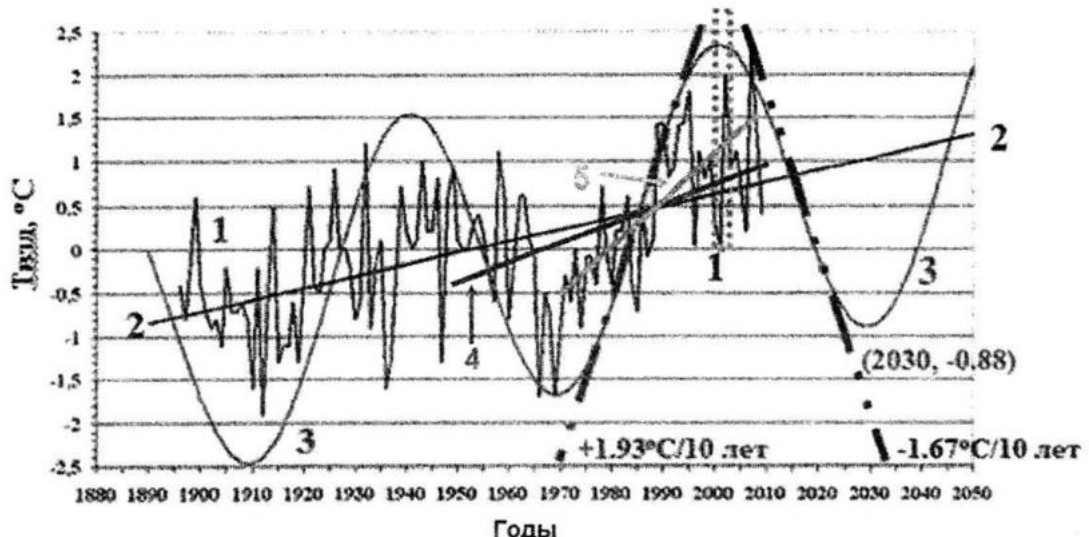


Рис. 4. Среднегодовые температуры воздуха по г. Бабушкин на Южном Байкале (кривая 1) с линейным трендом за период с 1896 по 2009 гг. (кривая 2) и с огибающей в виде косинусоиды с периодом 60 лет (кривая 3)

Таблица 1

Увеличение наклона линейных трендов среднегодовых температур воздуха в Иркутске, Бабушкине и Нижне-Ангарске в зависимости от выбранной длительности ряда наблюдений до 2008 г.: с начала ряда, с 1950 и 1970 гг.

Линейный тренд	$y = A[\text{°C/год}] \cdot x[\text{год}] + B[\text{°C}]$			Полный ряд, годы
	с начала	с 1950 г.	с 1970 г.	
Иркутск с 1873 г.	0.0185x - 1.83	0.0443x - 1.02	0.0578x - 0.45	135
Бабушкин с 1896 г.	0.0196x - 0.78	0.0253x - 0.49	0.0488x - 0.51	112
Нижнее-Ангарск 1933 г.	0.0223x - 3.52	0.0357x - 3.63	0.0567x - 3.39	75

3. Прогноз Твзд на 2030 г. с учетом 60-летнего цикла солнечной активности. Зная про существование 60-летнего цикла солнечной активности и применяя 60-летнюю косинусную огибающую, можно легко получить прогноз температуры воздуха на 2030 г. по ближайшему минимуму огибающей, который равен 0.06 °C, G.Orssengo [4]. Прогноз N.Scafetta [7], полученный после передвижения кривой температур воздуха Земного Шара в сторону 2000-х годов с выченными значениями квадратичного тренда на 60 лет, имеет практически полное совпадение совмещенных частей кривых (пики 1880 и 1940 гг. совпали с пиками 1940 и 2000 гг.). Считая, что вряд ли такое совмещение кривых температур может быть случайным, получается, что в 2030 – 2040 годы без учета потепления также будет минимум температур, немного уступающий минимумам 1910 и 1970 гг.

Таким образом, прогнозы на 2030 г. с учетом 60-летнего цикла дают понижение температур немножко уступающее минимумам Твзд в 1910 и 1970 гг., рис. 5.

Прогноз Х. Абдулсаматова [10] учитывает двухсот- и одиннадцатилетний циклы колебаний солнечной активности. Достоинством прогноза Х. Абдулсаматова [10] является то, что он не содержит никаких гипотез и свои прогнозы и выводы строит исключительно на изменчивости солнечной постоянной. В других гипотезах Солнце, главный источник тепла для землян, используется так или иначе опосредованно и предполагается его излучение строго постоянным. Снижение активности 11-летней составляющей солнечной постоянной и спад нынешнего 24-го цикла при продолжающемся понижении активности двухвековой компоненты в 2013 – 2015 году приведет к устойчивому последовательному похолоданию нашей планеты, ко-

торое достигнет минимума до состояния глубокого похолодания в 2055 – 2060 ± 11 годах [10]. Похолодание может быть подобным тому, которое наблюдалось в 1645 – 1715 годах во всей Европе, в Северной Америке и Гренландии в период маундеровского минимума светимости и пятнообразовательной активности Солнца, когда среднегодовая температура воздуха снизится на 1,0 – 1,5 градуса по шкале Цельсия до отметки так называемого маундеровского минимума. Очередной период климатического минимума, глубокого похолодания климата, продлится ориентировочно около 45 – 65 лет, и после этого периода холо-

дов обязательно наступит потепление в рамках очередного двухвекового цикла Солнца. Глубокое похолодание сменится очередным потеплением ориентировочно в конце 21 – начале 22-го века, что показано на рис. 5, где для Земного Шара по данным [6] – красный овал, по данным [4] – синий ромб, по данным [10] – черные линии и квадрат, по данным [3, 11] – голубая стрелка и по озеру Байкал – зеленая звездочка. Для данных [10] шкала ΔT дана слева, для остальных – справа; аномалии ΔT взяты от средних значений за 2000 – 2010 гг., близких для данных Земного Шара и Байкала к значениям линейного тренда за 2030 г.

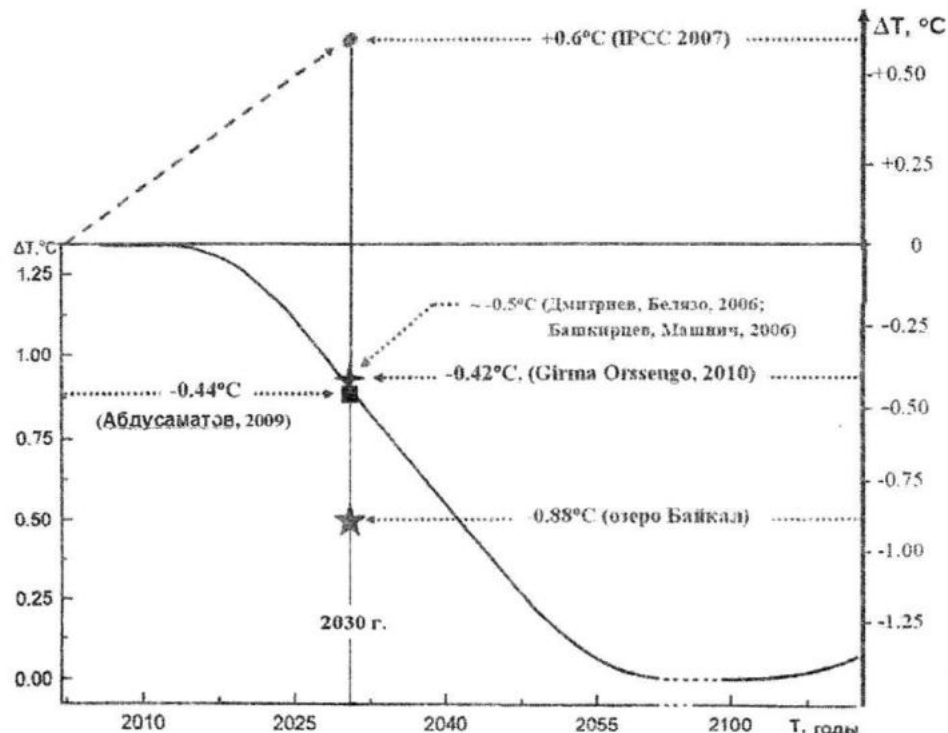


Рис. 5. Прогноз аномалий температуры ΔT до 2030 г.

По климатическому сценарию для Северной Полярной области [3] дают с учетом всех комических ритмов, включая галактический, понижение $T_{возд}$ достигнет около -0.5°C . Такое же понижение температуры прогнозируют к 2030 г. по данным солнечной активности [11].

Обсуждение прогнозов. По прогнозу IPCC 2007 [6] (0.2°C на десять лет) к 2030 г. температуры возрастут на 0.6°C , но, начиная с 2000-го года, прогнозируемые данные начинают превосходить наблюдаемые значения [5], что создает проблему в понимании надежности про-

гноза IPCC [6] и возможности их применения.

Вклад антропогенного фактора есть, но он не является решающим. В работах [9, 13] показано, что в Эмский период (~115 тыс. лет назад) среднегодовые температуры воздуха на Байкале превосходили современные на 2°C , а антропогенный вклад был нулевым.

Косинусоидная огибающая наблюденных значений температурных аномалий (GMTA) Orssengo [4] даёт важный вклад в понимание природных процессов, имеющих колебательный характер,

а именно в смысл осреднения и важность учета фазы. На рис. 1 нами показаны предельные наклоны 30-летних линейных трендов: +0.34 и -0.25 °C на 10 лет для фаз потепления и похолодания соответственно. Без учета фазы процесса наклоны линейных трендов для диапазонов менее 30 и 60 лет и экстраполирование их на большие диапазоны не имеют физического смысла, что видно по выводам IPCC 2007. Из трех рассмотренных прогнозов наиболее достоверными являются второй и третий, тем более для точки 2030 г. у Orssengo [4] и Абдусаматова [10] наблюдается полное совпадение. Интересно, что 2030 год является точкой совпадения только до 2030 г., а после – точкой расхождения. По модели с косинусной огибающей Orssengo [4] после Абдусаматова [10] глубокое похолодание продолжается до 2055 – 2060 гг., т.е. в нашем случае оба прогноза совпадают.

Естественно, что проявление такого цикла можно ожидать в изменчивости в Твзд Земного Шара и озера Байкал. По методике, предложенной Orssengo [4] для выявления 60-летнего цикла, проанализированы долговременные изменения среднегодовых температур воздуха г. Иркутска с 1873 г., г. Бабушкина на берегу Южного Байкала с 1896 г. и Нижне-Ангарска на севере Байкала с 1933 г. Показано, что 60-летняя огибающая с учетом линейного тренда на качественном уровне передает ход среднегодовых температур воздуха в северном полушарии и в байкальском регионе, таблица 1.

Учет линейного тренда среднегодовых температур с 60-летней огибающей дает физические обоснования для прогноза изменений среднегодовых температур воздуха до 2030 г. Так ближайший минимум огибающей в 2030 г. дает понижение среднегодовых температур воздуха для Бабушкина до -0.883 °C, что для глобальной температуры качественно (похолодание) согласуется с прогнозами Orssengo [4]; Дмитриева, Белязо [3]; Башкирцева, Машнич [11]; Абдусаматова [10] и др. Прогноз Межправительственной комиссии по изменению климата (IPCC) [6], который не учитывает двойного цикла Сатурна, дает значения +0.6 °C.

Работа поддержана РФФИ, грант № 11-05-00438.

СПИСОК ЛИТЕРАТУРЫ

1. Чижевский А.Л. Земное эхо солнечных бурь – Москва: Мысль, 1973. – 349 с.
2. Вернадский В.И. Биосфера и ноосфера. Фонд им. Вернадского: 2008. – 324 с.
3. Дмитриев А.А., Белязо В.А. Космос. Планетарная климатическая изменчивость и атмосфера полярных регионов. Санкт-Петербург, гидрометеоиздат: 2006. – 258 с.
4. Girma Orssengo, 2010. Predictions Of Global Mean Temperatures & IPCC Projections
5. <http://wattsupwiththat.files.wordpress.com/2010/04/predictions-of-gmt.pdf>
6. The Climate Research Unit of the Hadley Center (hadcrut3). <http://www.woodfortrees.org/plot/hadcrut3vgl/compress:12/from:1880>
7. IPCC (2007). Climate Change 2007: Working Group I: The Physical Science Basis. FAQ 3.1 How are Temperatures on Earth Changing? http://www.ipcc.ch/publications_and_data/ar4/wg1/en/faq-3-1.html
8. Scafetta N. Climate Change and Its Causes, A Discussion About Some Key Issues, SPPI Original paper, March 18, 2010. – 56 p.
9. http://scienceandpublicpolicy.org/images/stories/papers/originals/climate_change_cause.pdf
10. Kuimova L.N., Sherstyankin P.P. Climate Change and extreme hydrological events on Lake Baikal during the Last 250,000 Years. The Second International Conference on Climate and Water, Espoo, Finland, 17 – 18 August 1998, Vol.3, 1998. – Р. 1197 – 1204.
11. Куимова Л.Н., Шерстянкин П.П. Особенности палеотермохалинного режима озера Байкал при событиях Хайнриха в верхнем и среднем плейстоцене. Докл. РАН, 1999, т.368, № 5, – С. 691–694.
12. Абдусаматов Х.И. Солнце диктует климат Земли. Logos, 2009. – 197 с.
13. Башкирцев В.С., Машнич Г.П. Солнечная активность и прогноз климата Земли. Избранные проблемы астрономии (Научно-практическая конференция "Небо и Земля", г. Иркутск, 21 – 23 ноября 2006 г.), 2006. – С. 248 – 254.
14. Куимова Л.Н., Шерстянкин П.П. Сравнение изменчивости ледовых явлений озера Байкал и Арктики в последнее время. "Материалы гляциологических исследований", № 105, 2008. – С. 140 – 144.
15. Sherstyankin P.P., Kuimova L.N. 1998. Warming on Baikal and Global Change, their Linkages With Eemian Period. 6th International Conference on Paleoceanography "Reconstructiong Ocean History – a Window into the Future". August 22 – 29 1998. Lisbon, Portugal; 1998. – Р. 209 – 210.